

## II-208 热伝達に関する基礎実験（貯水池を対象として）

東洋大学工学部	正員	田中 修三
東洋大学工学部	学員	山本 哲郎
東洋大学工学部	正員	萩原 国宏

### 1.はじめに

水槽の架、貯水池では、後熱期に温度躍層が形成されることは良く知られている。模型実験を行なうと、温度躍層が取水口位置に到達する以前は急速に成長し続けるが、温度躍層が取水口位置に到達すると非常に緩慢な成長となる。これは取水口位置には取水口へ向かう流れが存在するためと考えられるが、流れの存在により、熱伝達がより盛んに行なわれる可れど、躍層はもっと成長するのではないか。本実験は上述の点に注目して、供給熱源の方向性による、流れ・熱伝導係数等について考察すべく模型実験を行なったものである。

### 2. 実験装置および方法

実験は図-1に示す様なアクリル製 ( $15 \times 16 \times 27\text{cm}$ ) の模型を用いて行なった。模型は鋼板によつて三層に仕切られている。水温測定はサーミスタ温度計を使用し、流況はアルミ粉による写真撮影、染料による目視によつて観察した。断熱材として発泡スチロールのケーツフを使用した。

実験条件は、図-2に示すように、A-1, 2, B-1, 2, C-1, 2の様に下から上から横から熱供給が行なわれる。A-1, B-1, C-1, 2では温水は補給されないが、A-2, B-2, C-2では温水が補給され、一定温度が保持される。使用水の水温は温水として  $40^{\circ}\text{C}, 50^{\circ}\text{C}$ 、冷水として  $20^{\circ}\text{C}$  としている。

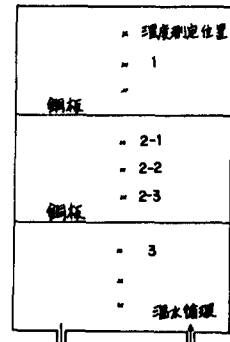


図-1

### 3. 理論

次式のように、第1層、第2層、第3層における熱収支式を立てよう。

$$\left. \begin{aligned} dT_1 A \kappa C &= - \left( \frac{T_1 - T_2}{d} \right) \kappa A dt - \left( \frac{T_1 - \theta}{d} \right) \kappa A' dt \\ dT_2 A \kappa C &= \left( \frac{T_1 - T_2}{d} \right) \kappa A dt - \left( \frac{T_2 - T_3}{d} \right) \kappa A dt - \left( \frac{T_2 - \theta}{d} \right) \kappa A'' dt \\ dT_3 A \kappa C &= \left( \frac{T_2 - T_3}{d} \right) \kappa A dt - \left( \frac{T_3 - \theta}{d} \right) \kappa A' dt \end{aligned} \right\} \quad (1)$$

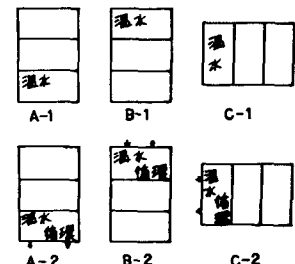


図-2

得られた解は、

$$\left. \begin{aligned} T_1 &= \frac{C_1 \tilde{\kappa} \tilde{A}}{\lambda_1 + (1+m) \tilde{\kappa} \tilde{A}} e^{2x_1 t} + \frac{C_2 \tilde{\kappa} \tilde{A}}{\lambda_2 + (1+m) \tilde{\kappa} \tilde{A}} e^{2x_2 t} - C_3 e^{-(1+m) \tilde{\kappa} \tilde{A} t} + \theta \\ T_2 &= C_1 e^{2x_1 t} + C_2 e^{2x_2 t} + \theta \\ T_3 &= \frac{C_1 \tilde{\kappa} \tilde{A}}{\lambda_1 + (1+m) \tilde{\kappa} \tilde{A}} e^{2x_1 t} + \frac{C_2 \tilde{\kappa} \tilde{A}}{\lambda_2 + (1+m) \tilde{\kappa} \tilde{A}} e^{2x_2 t} + C_3 e^{-(1+m) \tilde{\kappa} \tilde{A} t} + \theta \end{aligned} \right\} \quad (2)$$

ここで、 $A$ : 鋼板面積、 $A', A''$ : 各層の側面積、 $\kappa$ : 热伝導係数、 $C$ : 比熱、 $\theta$ : 気温  
得られた解が物理的のもの、外部への热損失を考慮したためである。

#### 4. 結果および考察

図-3は横軸に時間(分)、

縦軸に  $(T - T_c) / (T_h - T_c) \times 100 (\%)$

をとり、水温の時間変化を示す。

Aタイプでは初期を除き

第2層の温度は同じであるが

B,Cタイプでは成層化し

ている。いすれの場合もBタ

イプの熱伝導が一番悪いこ

とが理解される。流れ面から視

るとAタイプでは、写真-1

のような対流が生起されるた

め、第2層の温度分布は同一

となる。この対流の向きは初

期の段階で決定されるが、今

回の実験ではほとんど中央部

から上昇し、側壁へ向かう流

れであった。Cタイプでは、

温水側の銅板面付近が暖め

られるので、銅板面を上昇し

て上部に達し、上部より成層

化が進行する。図-4の熱伝導係数の値は(3.)で求めた解曲線群

を丸をパラメーターとして描いたものと、実験結果を比較して求めた

ものである。分布が広かつているのは時間変化をも含めてプロットし

ているためである。A,Cタイプは  $1.5 \times 10^{-4}$ 、Bタイプは

$2.5 \times 10^{-5}$  程度で一桁異なる。熱伝導係数の時間変化については

Bタイプでは変化傾向が見られるが、A,Cタイプでは対流が存在する

ために、明らかでない。熱源の温度差による変化は、今回  $40^{\circ}\text{C}$ 、

$50^{\circ}\text{C}$  と温度差が小さいため現われていないが、温水循環がある場合、少なくとも、熱源とのものが流れている場合には、わざわざがらず

が大きくなる傾向を示す。

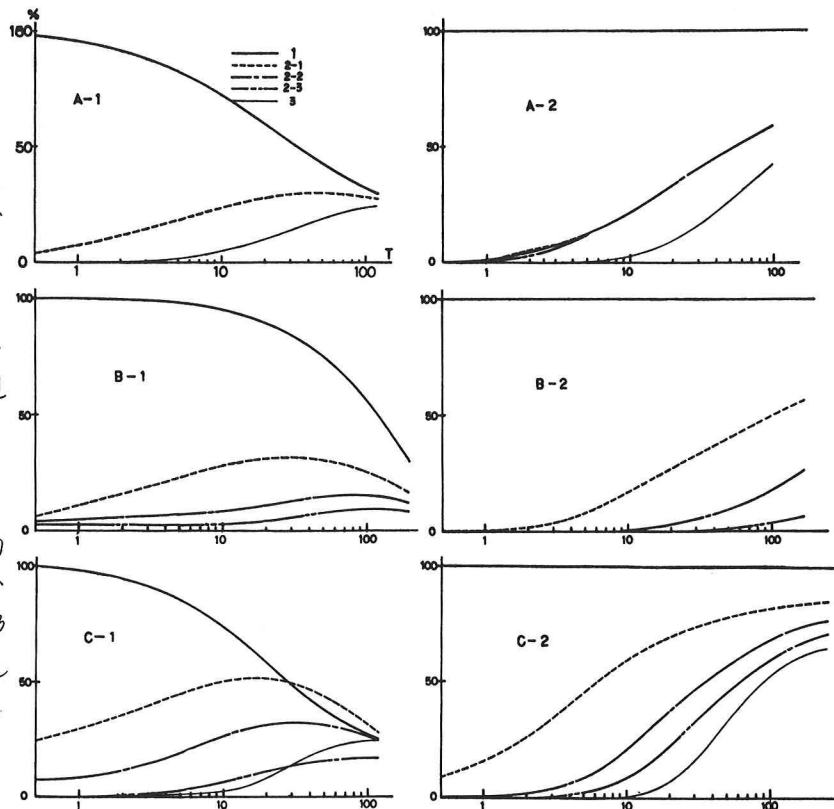


図-3

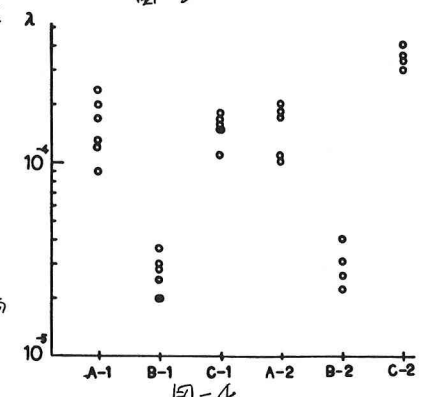


図-4

#### 5. おわりに

今回の実験では、断熱材に関する難があり、そのため外部への熱損失を無視出来なかった。現象の外でなく、今後は水理学的検討を加えていきたいと考えている。

写真-1



写真-2  
(5分後, 30分後)

